

РСФСР  
МИНИСТЕРСТВО РЕЧНОГО ФЛОТА

ГЛАВНОЕ УПРАВЛЕНИЕ КАПИТАЛЬНОГО СТРОИТЕЛЬСТВА  
ГОСУДАРСТВЕННЫЙ ИНСТИТУТ ПРОЕКТИРОВАНИЯ НА РЕЧНОМ ТРАНСПОРТЕ  
"ГИДРОРЕЧТРАНС"

УКАЗАНИЯ  
ПО ПРОЕКТИРОВАНИЮ ПРИЧАЛЬНЫХ НАБЕРЕЖНЫХ  
СН-РФ 54. I-85

КНИГА 3

РАЗДЕЛ 6

Набережные уголкового профиля с анкеровкой  
за фундаментную плиту

РАЗДЕЛ 7

Набережные ячеистые из оболочек большого диаметра  
и из тонких железобетонных панелей

ИЗДАНИЕ ВТОРОЕ, ИСПРАВЛЕННОЕ

МОСКВА 1987

РСФСР  
МИНИСТЕРСТВО РЕЧНОГО ФЛОТА

ГЛАВНОЕ УПРАВЛЕНИЕ КАПИТАЛЬНОГО СТРОИТЕЛЬСТВА  
ГОСУДАРСТВЕННЫЙ ИНСТИТУТ ПРОЕКТИРОВАНИЯ НА РЕЧНОМ ТРАНСПОРТЕ  
"ГИПРОРЕЧТРАНС"

*Утверждены Министерством речного флота РСФСР  
2 сентября 1986 г.*

УКАЗАНИЯ  
ПО ПРОЕКТИРОВАНИЮ ПРИЧАЛЬНЫХ НАБЕРЕЖНЫХ  
СН-РФ 54. I-85

КНИГА 3

РАЗДЕЛ 6

Набережные уголкового профиля с анкеровкой  
за фундаментную плиту

РАЗДЕЛ 7

Набережные ячеистые из оболочек большого диаметра  
и из тонких железобетонных панелей

ИЗДАНИЕ ВТОРОЕ, ИСПРАВЛЕННОЕ

МОСКВА-1987

Настоящий том включает разделы 6 и 7 Указаний по проектированию причальных набережных. В 1986 г. отдельными томами выпущены:

Раздел I "Основные положения проектирования", М.: Ротапринт Гипроречтранса, 1986. -246 с., включающий приложения I - 12, а также перечень нормативных документов и технической литературы;

Разделы 2 - 5 (набережные шпунтовые), М.: Ротапринт Гипроречтранса, 1986. -57 с.

Раздел 6 разработан отделом научных исследований и экспериментального проектирования Гипроречтранса на основе редакции раздела IУ СН -РФ 54.1-68 (к.т.н. В.Э.Даревский - руководитель и ответственный исполнитель разработки, инженеры В.А.Есиновский, Л.А.Джораева, И.А.Петухова и др.).

Раздел 7 разработан взамен Временных руководящих указаний по проектированию причальных набережных из оболочек большого диаметра, выпущенных Гипроречтрансом в 1973 г., совместно отделом научных исследований Гипроречтранса (к.т.н. В.Э.Даревский - руководитель темы и ответственный исполнитель, инженеры В.А.Есиновский, Л.А.Джораева, А.Л.Ушеренко и др.) и кафедрой водного хозяйства и морских портов МИСИ им. В.В.Куйбышева (ответственный исполнитель к.т.н. С.Н.Левачев).

Ссылки на пункты разделов I - 5, приложения и список литературы даны без дополнительного указания номера раздела и тома. Система буквенных обозначений принята той же, что и в ранее выпущенных разделах I - 5 и не приведена в соответствие с использованной во вновь выпускаемых главах СНиП.

Министерство речного флота	Ведомственные строительные нормы	СН-РФ 54.1-85
	Указания по проектированию причальных набережных (раздел 6)	Взамен раздела IV СН-РФ 54.1-68

## РАЗДЕЛ 6

### НАБЕРЕЖНЫЕ УГОЛОВОГО ПРОФИЛЯ С АНКЕРОВКОЙ ЗА ФУНДАМЕНТНУЮ ПЛИТУ

6.1. Настоящий раздел Указаний распространяется на проектирование набережных с железобетонными фундаментными плитами и лицевыми элементами в виде тонких железобетонных плит или из стального шпунта, заанкерованными тягами за фундаментные плиты.

6.2. Состав и последовательность расчетов, как правило, соответствуют приведенным на рис. 6.1.

6.3. Основные сочетания нагрузок и соответствующие расчетные условия принимаются:

для лицевых элементов – по табл. 6.1, 6.2;

для фундаментных плит – по табл. 6.3, 6.4.

Расчетные схемы к некоторым сочетаниям нагрузок показаны на рис. 6.2 и 6.3.

При наличии особых нагрузок следует рассматривать особые сочетания, включающие, кроме указанных в табл. 6.1 и 6.3, одну из особых нагрузок.

6.4. Лицевой элемент рассчитывают на действие следующих усилий:

а) изгибающего момента  $M_{\text{пр}}$  в пролетной части, растягивающего лицевую грань, и продольной сжимающей силы  $N$ ;

Внесены Государственным институтом проектирования на речном транспорте	Утверждены Министерством речного флота РСФСР	Срок введения 01.01.87
---	--	------------------------------

I	Назначение предварительных размеров $h_K$ , $h_{y\pi}$ , $B$ , $B_K$ (табл. I.2, п. 6.7, а, г)
2	Проверка общей устойчивости и уточнение длины фундаментной плиты В (приложение 2)
3	Расчет по деформациям и уточнение длины фундаментной плиты (п. 6.11)
4	Сбор нагрузок и составление расчетных схем для лицевого элемента (табл. 6.1, 6.2)
5	Определение для лицевого элемента $M_K$ , $M_{pr}$ , $R_\sigma$ , $R_\theta$ , $Q$ и $N$ (п. 6.4)
6	Сбор нагрузок и составление расчетных схем для фундаментной плиты (табл. 6.3, 6.4)
7	Определение для фундаментной плиты $M$ , $Q$ , $N$ (пп. 6.6–6.8)
8	Определение нормативных усилий и расчет железобетонных сечений по образованию или раскрытию трещин (п. 6.10)
9	Сбор нагрузок и определение расчетных усилий в продольных сечениях лицевого элемента (п. 6.4) и фундаментной плиты (п. 6.9)
10	Подбор и расчет сечений лицевого элемента и фундаментной плиты (п. I.16, табл. 6.2, 6.4)
II	Подбор сечения анкерных тяг и расчет соединительных деталей (приложение 3)
12	Расчет шапочной балки (п. З.13) и распределительного пояса (п. З.12)
13	Расчет тумбового массива (приложение 12)

Рис. 6.1. Состав и последовательность расчетов углковых набережных с анкеровкой за фундаментную плиту (блок-схема)

Таблица 6.1

Наименование нагрузки	Нагрузки, входящие в основное сочетание №													Примечание	
	I	2	3	4	5	6	7	8	9	10	II	12	13	I4	
	при определении в листовом элементе														
	$M_{np}, R_g, N, Q$	$M_K < 0, Q$	$R_d$	$M_K > 0, Q$	$R_d$										
1. Боковое давление грунта:															См.пп. I.42-I.44, I.52, I.53, 6.5
а) от собственного веса	+	+	+	+	+	+	+	+	+	+	+	+	+	+	
б) от временных нагрузок	+	+	+	+	+	+	+	+	+	-	-	-	-	-	
2. Давление воды:															См. приложение 9
а) фильтрационное	-	+	-	-	+	+	-	-	-	-	-	-	-	-	См. СНиП 2.06.04-82;
б) волновое при подходе ложбины волны	-	-	-	-	+	-	-	-	-	-	-	-	-	-	учитывается при высоте волны не менее I м
3. Давление льда:															См. приложение 6;
а) при навале	-	-	+ <sup>a)</sup>	-	-	-	-	+ <sup>a)</sup>	-	-	+ <sup>b)</sup>	-	-	-	а - на уровне анкерных тяг
б) при температурном расширении	-	-	-	-	-	-	-	+ <sup>a)</sup>	-	-	-	+ <sup>b)</sup>	-	-	в - на уровне верха стены
в) при изгибе примерзшего льда	-	-	-	-	-	+ <sup>b)</sup>	-	-	-	-	-	-	-	-	↑ - при повышении уровня воды
4. От судов:															См. приложение 5
а) при навале	-	-	-	+ <sup>a)</sup>	-	-	-	-	+ <sup>a)</sup>	-	+ <sup>b)</sup>	-	-	-	См. СНиП 2.06.04-82;
б) швартовая	-	-	-	-	-	-	+	-	-	-	-	-	-	±	учитывается при отсутствии анкеровки тумбовых массивов

Таблица 6.2

Наименование расчетного условия	Значения при сочетании нагрузок №							
	I	2 5	3 4	6	7	8 - 10	II - I3	I4
1. Расстояние от начала эквивалентной нагрузки $q$ до линии кордона				$0,5 h_k$	0	0	-	-
2. Коэффициенты условий работы								
$m_1$				$\neq I$	$\neq I$	$\neq I$	I	$\neq I$
$m_2(q)$				I	I	I	0,7	I
3. Дополнительный коэф. условий работы $m_3$ при расчете прочности								
а) на $M < 0$				-		I, 15	I, 15	-
б) в других, не оговоренных специально случаях				I		I	I	I
4. Уровень воды	$min$	$med_2$	$max$	$med_1$	$min$	$med_2$	$max$	$min$

Примечание. Уровни воды:  $min$  - минимальный;  $max$  - наивысший, при котором возможна кратковременная нагрузка;  $med_1$  - соответствующий уровень приложения кратковременной нагрузки;  $med_2$  - ниже уровня анкеровки на высоту волны и фильтрационного напора

Таблица 6.3

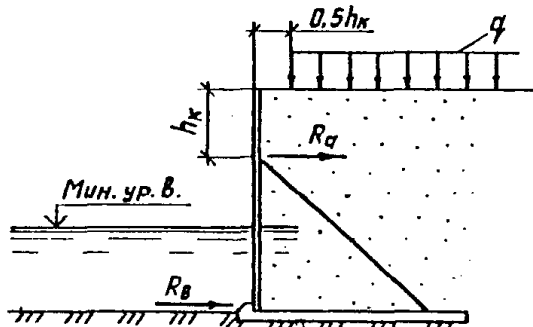
Наименование нагрузки	Букв. обозн.	Нагрузки, входящие в основное сочетание №				Примечание	
		I	2	3	4		
		при определении в фундаментной плите					
		$M > 0, Q, N$	$M < 0, Q, N, M_p$	$M_{up}, Q_{up}$	$M_k, Q_k$		
1. Нагрузка от собственного веса плиты и веса грунта над ней с учетом взвешивающего действия воды	$q_{r1}$	+	+	+	+	См.п.п. I.42-I.44, I.52, I.53	
2. Временная нагрузка на поверхности грунта в пределах ширины плиты	$q_1$	+	-	-	+		
3. Пригрузка основания от веса грунта засыпки за плитой с учетом взвешивающего действия воды	$q_{r2}$	+	+	-	-		
4. Временная нагрузка на поверхности грунта за плитой	$q_2$	-	+	-	-		
5. Нижняя опорная реакция лицевого элемента	$R_b$	+	+	+	-		
6. Горизонтальная составляющая анкерного усилия	$R_a$	+	+	-	-		
7. Силы трения по подошве плиты	$\tau$	+	+	-	-		
8. Вес лицевого элемента и щапочной балки с учетом взвешивающего действия воды	$G_L$	+	+	-	-		

Таблица 6.4

Наименование расчетного условия	Значение при сочетании нагрузок №				Примечание
	1	2	3	4	
1. Дополнительный коэффициент условий работы $\gamma_f$ при расчете прочности					
а) на изгибающий момент при укладке плит под воду без уплотнения постели	0,8	1,25	I	I	
б) на изгибающий момент при укладке плит насухо на уплотненную и спланированную постель	1,25	0,8	I	I	
в) в других, не оговоренных специально случаях	I	I	I	I	
2. Уровень воды	$m_{il}$	$m_{il}$	$med$	$m_{il}$	$m_{il}$ – минимальный $med$ – при котором максимальна $R_g$
3. Сочетания нагрузок при определении $R_a$ и $R_b$	7	14	I + 6	-	См. табл. 6.1, 6.2

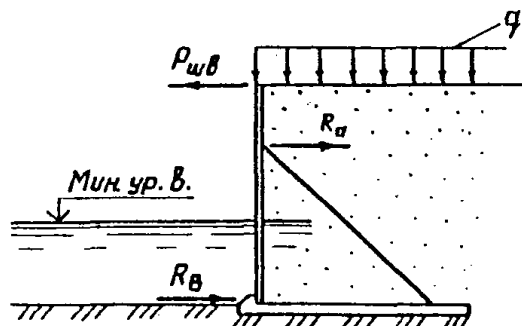
-9-

Сочетание I  
( для  $M_{pr}$ ,  $R_B$ ,  $Q$  )



$$m_f \neq 1$$

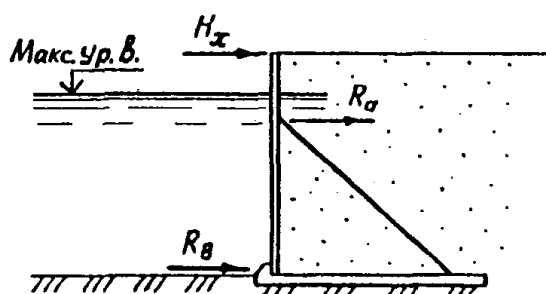
Сочетание 7  
( для  $M_K < 0$ ,  $R_\sigma$ ,  $Q$  )



$$m_f \neq 1$$

Сочетание 12

( для  $M_K > 0$ ,  $Q$ , реактивное давление грунта не показано, см. приложение 5 )

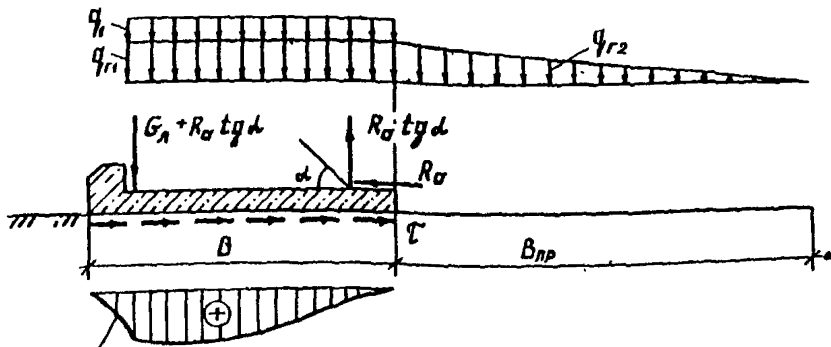


$$m_f = 1$$
  
$$m_{2(\sigma)} = 0.7$$

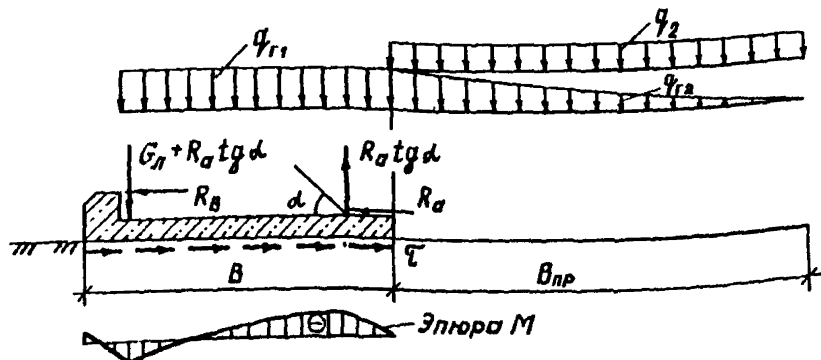
Рис. 6.2. Расчетные схемы к I, 7 и 12 сочетаниям нагрузок для лицевого элемента

-10-

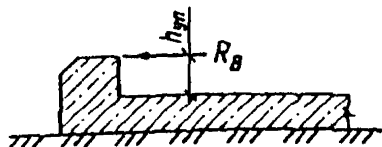
Сочетание 1 (для  $M > 0$ )



Сочетание 2 (для  $M < 0$ )



Сочетание 3 (для  $M_{yH}, Q_{yH}$ )



Сочетание 4 (для  $M_K$ )

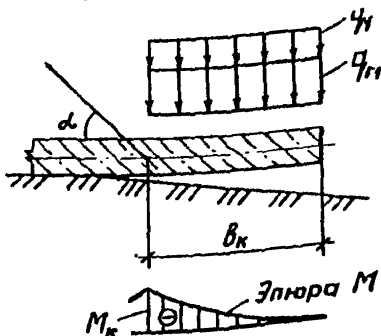


Рис. 6.3. Расчетные схемы к основным сочетаниям нагрузок для фундаментной плиты

- б) изгибающего момента на консоли, растягивающего тыловую грань (в табл. 6.1 и на рис. 6.2 обозначено  $M_h < 0$ );
- в) изгибающего момента на консоли, растягивающего лицевую грань ( $M_h > 0$ );
- г) поперечных сил  $Q$  на уровне крепления анкерной тяги и нижней опорной реакции  $R_g$ ;
- д) изгибающих моментов в продольных сечениях.

Расчет на усилия в поперечных сечениях (поз. а – г) ведется как для элемента надстройки по указаниям п. 4.6, а на усилия в продольных сечениях – как при расчете полок шпунта, аналогично указанному в п. 3.7.

6.5. Боковое давление грунта  $\bar{b}_{ag}$  при расчете лицевых элементов определяется по приложению 8 и умножается на коэффициенты  $m_1$  и  $m_{2(a)}$  из табл. 6.2. При  $m_1 \neq 1$  коэффициент  $m_1$  вычисляется по формулам (3.4) – (3.8) при  $H = H_{ct}$ .

6.6. Фундаментную плиту рассчитывают на действие следующих усилий:

- а) изгибающего момента, растягивающего нижнюю грань (в табл. 6.3 и на рис. 6.3 обозначено  $M > 0$ ), и растягивающей силы  $N$ ;
- б) изгибающего момента, растягивающего верхнюю грань ( $M < 0, M_h$ ), и растягивающей силы  $N$ ;
- в) поперечной силы  $Q$  в месте крепления анкерной тяги;
- г) изгибающего момента  $M_{up}$  и поперечной силы  $Q_{up}$  в упорном зубе;
- д) изгибающего момента в полках плит таврового или ребристого сечения  $M_n$ .

6.7. Усилия в поперечных сечениях фундаментной плиты, а также реактивные давления основания  $P$  определяются как для балки, полностью или частично опирающейся на упругое основание, с использованием приведенных ниже формул и таблиц:

- а) горизонтальное сечение в основании упорного зуба (рис. 6.3):

$$M_{yp} = R_s \cdot h_{yp} \quad -12- \quad (6.1)$$

$$Q_{yp} = R_s , \quad (6.2)$$

где  $h_{yp}$  — высота упорного зуба (обычно равна 0,4 м);

б) вертикальное сечение по тыловой грани упорного зуба (см. рис. 6.3):

$$M = M_{yp} ; \quad (6.3)$$

в) вертикальные сечения от тыловой грани упорного зуба до конца плиты (см. рис. 6.3):

при первом сочетании нагрузок по табл. 6.3:

$$M = \bar{M}_q (q_{r_1} + q_r) B^2 + \bar{M}_{p_1} (G_p + R_a \operatorname{tg} \alpha) B - \bar{M}_{p_2} R_a B \operatorname{tg} \alpha + \bar{M}_q q_{r_2} B^2, \quad (6.4)$$

$$Q = \bar{Q}_q (q_{r_1} + q_r) B + \bar{Q}_{p_1} (G_p + R_a \operatorname{tg} \alpha) - \bar{Q}_{p_2} R_a \operatorname{tg} \alpha + \bar{Q}_q q_{r_2} B, \quad (6.5)$$

$$N = R_s - \tau \cdot x, \quad (6.6)$$

$$P = \bar{P}_q (q_{r_1} + q_r) + \bar{P}_{p_1} (G_p + R_a \operatorname{tg} \alpha) / B - \bar{P}_{p_2} R_a \operatorname{tg} \alpha / B + \bar{P}_q q_{r_2}, \quad (6.7)$$

где  $\bar{M}_q$ ,  $\bar{M}_{p_1}$ ,  $\bar{M}_{p_2}$ ,  $\bar{M}_q$ ,  $\bar{Q}_q$ ,  $\bar{Q}_{p_1}$ ,  $\bar{Q}_{p_2}$ ,  $\bar{Q}_q$ ,  $\bar{P}_q$ ,  $\bar{P}_{p_1}$ ,  $\bar{P}_{p_2}$  и  $\bar{P}_q$  — безразмерные параметры, определяемые по таблицам 6.5 – 6.8 в зависимости от показателя гибкости  $t_{se}$  (см. п. 6.8);

$\alpha$  — угол наклона анкерной тяги к горизонту;

$G_p$ ,  $q_{r_1}$ ,  $q_r$ ,  $q_{r_2}$  и  $\psi_2$  — те же значения, что и в табл. 6.3;

$\tau$  — касательные напряжения по подошве плиты; допускается принимать

$$\tau = \frac{R_a + R_b}{B} : \quad (6.8)$$

пригрузка  $q_{r_2}$  в зависимости от формы сечения котлована принимается равномерно распределенной или линейно уменьшающейся до нуля на расстоянии  $B_{np}$  от плиты; в последнем случае в расчетах используется максимальное значение  $q_{r_2}$ , причем допускается принимать его равным  $q_{r_1}$ , а  $B_{np} = 1,5B$ ;

при втором сочетании нагрузок по табл. 6.3:

$$M = \bar{M}_q q_{1n} B^2 + \bar{M}_{P_1} (G_{1n} + R_a t g d) B - \bar{M}_{P_2} R_a B t g d + \bar{M}_M \cdot M_{ypl} + \\ + \bar{M}_1 q_{1n} B^2 + \bar{M}_2 q_2 B^2, \quad (6.9)$$

$$Q = \bar{Q}_q q_{1n} B + \bar{Q}_{P_1} (G_{1n} + R_a t g d) - \bar{Q}_{P_2} R_a t g d + \bar{Q}_M \cdot M_{ypl} / B + \\ + \bar{Q}_1 q_{1n} B + \bar{Q}_2 q_2 B, \quad (6.10)$$

$N$  определяется по формуле (6.6),  $\tilde{T}$  — по формуле (6.8);

$$P = \bar{P}_q q_{1n} + \bar{P}_{P_1} (G_{1n} + R_a t g d) / B - \bar{P}_{P_2} R_a t g d / B + \\ + \bar{P}_1 q_{1n} + \bar{P}_2 q_2; \quad (6.11)$$

в формулах (6.9 – 6.11)

$\bar{M}_M, \bar{M}_1, \bar{M}_2, \bar{Q}_M, \bar{Q}_1, \bar{Q}_2, \bar{P}_M, \bar{P}_1, \bar{P}_2$  — безразмерные параметры,

определяемые по таблицам 6.7 – 6.9 в зависимости от показателя гибкости  $t_{se}$  (см. п. 6.8); остальные обозначения те же, что и выше;

допускается принимать  $q_2 = 1,2 q_1$ ;

г) вертикальное сечение в точке крепления анкерной тяги (только при укладке плиты на каменную постель, рис. 6.3):

$$M_K = -0,5(q + q_o) B_K^2, \quad (6.12)$$

$$Q_K = -(q + q_o) B_K, \quad (6.13)$$

где  $B_K$  — длина консольной части плиты (принимаемая обычно в пределах от 0,1 до 0,2B); остальные обозначения те же, что и выше.

Примечание. В формулах (6.1) – (6.13) все усилия и нагрузки принимаются на I и длины набережной.

6.8. Показатель гибкости фундаментной плиты определяется по формуле

$$t_{se} = \frac{\pi E_o B^3 \omega}{8 E_f J_n}, \quad (6.14)$$

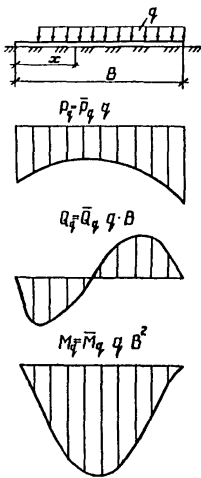
где  $\pi = 3,14$ ;

$E_o$  — средневзвешенный модуль деформации грунта в пределах сжимаемого слоя  $H_c$ ; при наличии постели  $E_o$  принимается не менее 30 МПа ( $300 \text{ кгс}/\text{см}^2$ );

	$t_{se}$	$x/B$						
		0	0,1	0,2	0,3	0,4	0,5	0,6
$\bar{P}_q$	0	1,26	1,00	0,79	0,64	0,56	0,55	0,63
	50	1,15	0,95	0,79	0,67	0,61	0,60	0,67
	100	1,07	0,92	0,79	0,69	0,64	0,64	0,71
	200	0,93	0,85	0,78	0,73	0,70	0,71	0,76
	300	0,82	0,81	0,78	0,76	0,75	0,76	0,80
	400	0,74	0,77	0,78	0,78	0,78	0,79	0,83
	500	0,68	0,75	0,78	0,80	0,81	0,82	0,85
$\bar{Q}_q$	0	0	0,113	0,102	0,073	-0,032	-0,013	-0,054
	50	0	0,105	0,092	0,063	0,028	-0,013	-0,050
	100	0	0,098	0,083	0,057	0,024	-0,013	-0,046
	200	0	0,090	0,071	0,047	0,018	-0,012	-0,040
	300	0	0,082	0,061	0,038	0,013	-0,012	-0,035
	400	0	0,076	0,054	0,034	0,010	-0,011	-0,030
	500	0	0,072	0,049	0,028	0,008	-0,011	-0,028
$\bar{M}_q$	0	0	0,006	0,017	0,026	0,030	0,031	0,028
	50	0	0,006	0,016	0,023	0,027	0,028	0,025
	100	0	0,006	0,015	0,022	0,026	0,026	0,023
	200	0	0,005	0,013	0,019	0,022	0,022	0,019
	300	0	0,004	0,011	0,016	0,018	0,018	0,016
	400	0	0,004	0,010	0,015	0,016	0,016	0,015
	500	0	0,004	0,010	0,014	0,015	0,015	0,013

Таблица 6.5

0,7	0,8	0,9	1,0
0,80	1,07	1,44	1,93
0,82	1,06	1,40	1,84
0,84	1,05	1,36	1,76
0,87	1,05	1,30	1,64
0,89	1,04	1,26	1,55
0,91	1,03	1,22	1,49
0,92	1,03	1,20	1,44
-0,083	-0,092	-0,067	0
-0,075	-0,082	-0,061	0
-0,069	-0,074	-0,054	0
-0,057	-0,063	-0,046	0
-0,050	-0,053	-0,040	0
-0,044	-0,046	-0,034	0
-0,042	-0,045	-0,032	0
0,021	0,013	0,004	0
0,018	0,010	0,003	0
0,016	0,010	0,003	0
0,014	0,008	0,003	0
0,012	0,006	0,002	0
0,010	0,006	0,002	0
0,009	0,005	0,002	0



Для формул (6.4) + (6.7)

$$q_V = q_{V_{r1}} + q_{V_1};$$

для формул (6.9) + (6.II)

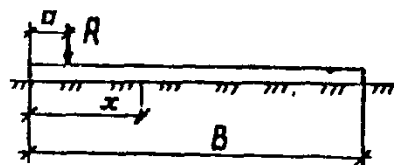
$$q_V = q_{V_{r1}}$$

	$t_e$	0	$x/B$					
			0,1	0,2	0,3	0,4	0,5	0,6
$\bar{P}_p$	0	4,77	3,32	2,26	1,50	0,97	0,61	0,35
	50	4,96	3,40	2,25	1,44	0,90	0,53	0,29
	100	5,12	3,46	2,25	1,40	0,83	0,47	0,23
	200	5,37	3,56	2,24	1,38	0,73	0,37	0,15
	300	5,55	3,63	2,24	1,27	0,65	0,29	0,10
	400	5,70	3,69	2,23	1,23	0,59	0,23	0,06
	500	5,82	3,73	2,22	1,19	0,54	0,19	0,03
$\bar{q}_p$	0	0	<u>0,40</u> -0,60	-0,32	-0,14	-0,016	0,062	0,11
	50	0	<u>0,41</u> -0,59	-0,31	-0,13	-0,009	0,061	0,10
	100	0	<u>0,43</u> -0,57	-0,29	-0,11	-0,004	0,06	0,09
	200	0	<u>0,44</u> -0,56	-0,27	-0,10	0,004	0,06	0,08
	300	0	<u>0,45</u> -0,55	-0,26	-0,09	0,01	0,05	0,07
	400	0	<u>0,46</u> -0,54	-0,25	-0,076	0,013	0,05	0,065
	500	0	<u>0,47</u> -0,53	-0,24	-0,067	0,015	0,05	0,059
$\bar{\mu}_p$	0	0	0,022	-0,024	-0,046	-0,053	-0,050	-0,042
	50	0	0,022	-0,022	-0,043	-0,049	-0,046	-0,038
	100	0	0,023	-0,02	-0,039	-0,045	-0,042	-0,034
	200	0	0,024	-0,017	-0,034	-0,039	-0,035	-0,028
	300	0	0,025	-0,014	-0,030	-0,034	-0,030	-0,024
	400	0	0,025	-0,013	-0,028	-0,030	-0,027	-0,021
	500	0	0,025	-0,012	-0,026	-0,028	-0,024	-0,019

Таблица 6.6

0,7	0,8	0,9	1,0
0,10	-0,19	-0,61	-1,23
0,07	-0,18	-0,54	-1,09
0,05	-0,17	-0,49	-0,99
0,013	-0,14	-0,39	-0,84
-0,008	-0,12	-0,33	-0,71
-0,023	-0,10	-0,28	-0,63
-0,032	-0,09	-0,24	-0,57
0,13	0,13	0,090	0
0,12	0,11	0,080	0
0,11	0,10	0,07	0
0,09	0,08	0,06	0
0,08	0,07	0,05	0
0,07	0,06	0,042	0
0,059	0,053	0,038	0
-0,030	-0,017	-0,005	0
-0,027	-0,015	-0,005	0
-0,023	-0,013	-0,004	0
-0,019	-0,011	-0,003	0
-0,016	-0,009	-0,002	0
-0,014	-0,008	-0,002	0
-0,013	-0,007	-0,002	0

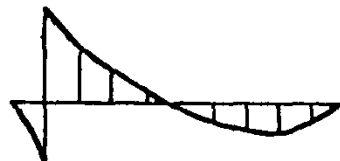
$$a/B = 0,1$$



$$P_p = \bar{P}_p \cdot \frac{R}{B}$$



$$Q_p = \bar{Q}_p \cdot R$$



$$M_p = \bar{M}_p \cdot R \cdot B$$



	$t_{fl}$	$x/B$						
		0	0,1	0,2	0,3	0,4	0,5	0,6
$\bar{P}_p$	0	-0,47	-0,12	0,11	0,28	0,43	0,61	0,89
	50	-0,47	-0,13	0,10	0,27	0,43	0,62	0,91
	100	-0,46	-0,14	0,090	0,26	0,43	0,63	0,93
	200	-0,44	-0,15	0,068	0,25	0,42	0,65	0,96
	300	-0,41	-0,15	0,050	0,23	0,42	0,66	0,98
	400	-0,38	-0,15	0,038	0,22	0,42	0,67	1,00
	500	-0,35	-0,16	0,020	0,20	0,41	0,67	1,02
$\bar{Q}_p$	0	0	-0,029	-0,029	-0,008	0,026	0,078	0,15
	50	0	-0,029	-0,030	-0,011	0,024	0,076	0,15
	100	0	-0,029	-0,030	-0,013	0,022	0,075	0,15
	200	0	-0,028	-0,031	-0,015	0,018	0,071	0,15
	300	0	-0,028	-0,031	-0,018	0,015	0,068	0,15
	400	0	-0,027	-0,031	-0,019	0,012	0,066	0,15
	500	0	-0,025	-0,032	-0,020	0,009	0,063	0,15
$\bar{M}_p$	0	0	-0,001	-0,005	-0,007	-0,006	-0,001	0,011
	50	0	-0,001	-0,005	-0,007	-0,006	-0,001	0,010
	100	0	-0,001	-0,005	-0,007	-0,007	-0,002	0,009
	200	0	-0,001	-0,005	-0,007	-0,007	-0,003	0,008
	300	0	-0,001	-0,005	-0,007	-0,007	-0,003	0,007
	400	0	-0,001	-0,005	-0,007	-0,008	-0,004	0,006
	500	0	-0,001	-0,005	-0,007	-0,008	-0,004	0,006

0,7	0,8	0,9	1,0
I,32	I,95	2,83	4,02
I,34	I,96	2,82	3,97
I,36	I,97	2,81	3,92
I,39	I,99	2,79	3,85
I,42	2,00	2,78	3,78
I,44	2,02	2,76	3,71
I,46	2,03	2,76	3,66
<hr/>			
0,26	<u>0,42</u> -0,58	-0,34	0
0,26	<u>0,43</u> -0,57	-0,34	0
0,26	<u>0,43</u> -0,57	-0,33	0
0,27	<u>0,43</u> -0,57	-0,33	0
0,27	<u>0,44</u> -0,56	-0,33	0
0,27	<u>0,44</u> -0,56	-0,32	0
0,27	<u>0,44</u> -0,56	-0,32	0
<hr/>			
0,03I	0,065	0,018	0
0,030	0,064	0,018	0
0,030	0,064	0,018	0
0,029	0,063	0,018	0
0,028	0,062	0,017	0
0,027	0,062	0,017	0
0,026	0,061	0,017	0

$$d/B = 0,8$$

$$P_p = \bar{P}_p \cdot \frac{R}{B}$$

$$Q_p = \bar{Q}_p \cdot R$$

$$M_p = \bar{M}_p \cdot R \cdot B$$

	$t_{st}$	$x/B$						
		0	0,1	0,2	0,3	0,4	0,5	0,6
$\bar{P}_p$	0	-1,23	-0,61	-0,19	0,10	0,35	0,61	0,97
	50	-1,09	-0,54	-0,18	0,072	0,29	0,53	0,90
	100	-0,99	-0,49	-0,17	0,047	0,23	0,47	0,83
	200	-0,84	-0,39	-0,14	0,013	0,15	0,37	0,73
	300	-0,71	-0,33	-0,12	-0,008	0,099	0,29	0,65
	400	-0,63	-0,28	-0,10	-0,023	0,059	0,23	0,59
	500	-0,57	-0,24	-0,09	-0,032	0,028	0,19	0,54
$\bar{Q}_p$	0	0	-0,090	-0,13	-0,13	-0,11	-0,062	0,016
	50	0	-0,080	-0,11	-0,12	-0,10	-0,061	0,009
	100	0	-0,071	-0,10	-0,11	-0,094	-0,060	0,004
	200	0	-0,058	-0,084	-0,090	-0,082	-0,057	-0,004
	300	0	-0,049	-0,071	-0,077	-0,072	-0,054	-0,008
	400	0	-0,042	-0,061	-0,068	-0,065	-0,052	-0,013
	500	0	-0,038	-0,053	-0,059	-0,059	-0,050	-0,015
$\bar{\mu}_p$	0	0	-0,005	-0,017	-0,030	-0,042	-0,050	-0,053
	50	0	-0,005	-0,015	-0,027	-0,038	-0,046	-0,049
	100	0	-0,004	-0,013	-0,023	-0,034	-0,042	-0,045
	200	0	-0,003	-0,011	-0,019	-0,028	-0,035	-0,039
	300	0	-0,002	-0,009	-0,016	-0,024	-0,030	-0,034
	400	0	-0,002	-0,008	-0,014	-0,021	-0,027	-0,030
	500	0	-0,002	-0,007	-0,013	-0,019	-0,024	-0,028

Продолжение табл. 6.6

0,7	0,8	0,9	1,0
I,50	2,26	3,32	4,77
I,44	2,25	3,40	4,96
I,40	2,25	3,46	5,12
I,33	2,24	3,56	5,37
I,27	2,24	3,63	5,55
I,23	2,23	3,69	5,70
I,19	2,22	3,73	5,82
<hr/>			
0,14	0,32	<u>0,60</u> -0,40	0
0,13	0,31	<u>0,59</u> -0,41	0
0,11	0,29	<u>0,58</u> -0,42	0
0,098	0,27	<u>0,56</u> -0,44	0
0,085	0,26	<u>0,55</u> -0,45	0
0,076	0,25	<u>0,54</u> -0,46	0
0,067	0,24	<u>0,53</u> -0,47	0
<hr/>			
-0,046	-0,024	0,022	0
-0,043	-0,022	0,022	0
-0,039	-0,020	0,023	0
-0,034	-0,017	0,024	0
-0,030	-0,014	0,025	0
-0,028	-0,013	0,025	0
-0,026	-0,012	0,025	0

$$a/B = 0,9$$

$$P_p = \bar{P}_p \cdot \frac{R}{B}$$

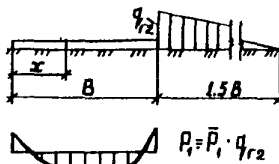
$$Q_p = \bar{Q}_p \cdot R$$

$$M_p = \bar{M}_p \cdot R \cdot B$$

	$t_{fl}$	$\alpha/B$						
		0*	0,1	0,2	0,3	0,4	0,5	0,6
$\bar{P}_I$	0	-0,36	-0,06	0,01	0,05	0,08	0,11	0,13
	50	-0,31	-0,05	0,01	0,03	0,07	0,09	0,11
	100	-0,26	-0,05	0	0,02	0,06	0,08	0,09
	200	-0,17	-0,04	0	0,01	0,04	0,05	0,07
	300	-0,18	-0,01	0	0	0,02	0,03	0,05
	400	-0,16	-0,01	0	0	0,01	0,02	0,04
	500	-0,15	0	0	0	0,01	0,02	0,04
$\bar{Q}_I$	0	0	-0,029	-0,032	-0,029	-0,022	-0,012	0,000
	50	0	-0,024	-0,026	-0,024	-0,018	-0,010	0,000
	100	0	-0,019	-0,021	-0,019	-0,014	-0,008	0,000
	200	0	-0,015	-0,017	-0,015	-0,012	-0,007	-0,001
	300	0	-0,011	-0,012	-0,011	-0,010	-0,007	-0,002
	400	0	-0,010	-0,011	-0,010	-0,009	-0,006	-0,002
	500	0	-0,009	-0,010	-0,009	-0,008	-0,006	-0,003
$\bar{M}_I$	0	0	-0,0015	-0,0045	-0,0075	-0,0100	-0,0117	-0,0124
	50	0	-0,0012	-0,0037	-0,0062	-0,0083	-0,0097	-0,0103
	100	0	-0,0010	-0,0030	-0,0050	-0,0067	-0,0078	-0,0083
	200	0	-0,0007	-0,0021	-0,0035	-0,0048	-0,0057	-0,0061
	300	0	-0,0005	-0,0017	-0,0029	-0,0039	-0,0047	-0,0053
	400	0	-0,0004	-0,0014	-0,0025	-0,0035	-0,0043	-0,0049
	500	0	-0,0003	-0,0012	-0,0022	-0,0031	-0,0039	-0,0045

Таблица 6.7

0,7	0,8	0,9	I, 0 <sup>394</sup>
0,15	0,14	0,08	-0,73
0,12	0,11	0,08	-0,67
0,10	0,1	0,08	-0,61
0,09	0,1	0,08	-0,49
0,08	0,1	0,11	-0,5
0,07	0,1	0,12	-0,48
0,07	0,1	0,12	-0,46
0,014	0,029	0,040	0
0,012	0,025	0,036	0
0,010	0,022	0,033	0
0,008	0,018	0,029	0
0,006	0,015	0,027	0
0,005	0,013	0,026	0
0,004	0,012	0,024	0
-0,0117	-0,0098	-0,0063	0
-0,0097	-0,0080	-0,0048	0
-0,0078	-0,0062	-0,0034	0
-0,0068	-0,0044	-0,0020	0
-0,0052	-0,0040	-0,0018	0
-0,0048	-0,0038	-0,0017	0
-0,0045	-0,0036	-0,0016	0



$$Q_I = \bar{P}_I \cdot q_{r2} B$$

$$M_I = \bar{M}_I \cdot q_{r2} B^2$$

ж) для  $\bar{P}_I$  - при  $x/B = 0,03$

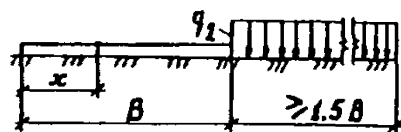
жк) для  $\bar{P}_I$  - при  $x/B = 0,97$

При равномерной нагрузке  
 $q_{r2} = \text{Const}$ . значения  $\bar{P}_I$ ,  $\bar{Q}_I$  и  $\bar{M}_I$   
 принимаются по табл. 6.8

	$t_{fl}$	$x/B$						
		0*	0,1	0,2	0,3	0,4	0,5	0,6
$\bar{P}_2$ $(\bar{P}_1)$	0	-0,48	-0,09	0,01	0,08	0,13	0,16	0,18
	50	-0,43	-0,07	0,01	0,06	0,10	0,13	0,15
	100	-0,38	-0,06	0,01	0,05	0,08	0,11	0,13
	200	-0,28	-0,05	0,01	0,04	0,06	0,09	0,10
	300	-0,22	-0,04	0	0,03	0,05	0,07	0,08
	400	-0,20	-0,03	0	0,02	0,04	0,06	0,07
	500	-0,19	-0,03	0	0,02	0,04	0,05	0,06
$\bar{Q}_2$ $(\bar{Q}_1)$	0	0	-0,039	-0,044	-0,039	-0,028	-0,013	0,004
	50	0	-0,033	-0,037	-0,033	-0,023	-0,011	0,003
	100	0	-0,027	-0,030	-0,027	-0,019	-0,009	0,003
	200	0	-0,021	-0,022	-0,020	-0,015	-0,007	0,002
	300	0	-0,016	-0,016	-0,015	-0,013	-0,007	0,001
	400	0	-0,014	-0,016	-0,013	-0,011	-0,006	0,000
	500	0	-0,012	-0,013	-0,012	-0,010	-0,006	-0,001
$\bar{M}_2$ $(\bar{M}_1)$	0	0	-0,0020	-0,0060	-0,0101	-0,0135	-0,0156	-0,0160
	50	0	-0,0018	-0,0051	-0,0086	-0,0115	-0,0133	-0,0136
	100	0	-0,0016	-0,0043	-0,0072	-0,0095	-0,0110	-0,0113
	200	0	-0,0013	-0,0034	-0,0057	-0,0073	-0,0085	-0,0087
	300	0	-0,0010	-0,0026	-0,0042	-0,0056	-0,0067	-0,0072
	400	0	-0,0009	-0,0023	-0,0038	-0,0051	-0,0061	-0,0066
	500	0	-0,0008	-0,0021	-0,0034	-0,0046	-0,0055	-0,0060

Таблица 6.8

0,7	0,8	0,9	1,0 <sup>жк</sup>
0,19	0,16	0,06	-0,9
0,16	0,15	0,06	-0,83
0,14	0,14	0,06	-0,76
0,12	0,12	0,07	-0,63
0,10	0,11	0,09	-0,57
0,09	0,11	0,10	-0,55
0,09	0,11	0,11	-0,53
0,022	0,040	0,051	0
0,019	0,036	0,046	0
0,016	0,032	0,042	0
0,013	0,027	0,037	0
0,010	0,022	0,033	0
0,008	0,020	0,031	0
0,007	0,018	0,029	0
-0,0148	-0,0116	-0,0072	0
-0,0125	-0,0098	-0,0057	0
-0,0103	-0,0080	-0,0043	0
-0,0079	-0,0060	-0,0028	0
-0,0067	-0,0052	-0,0024	0
-0,0062	-0,0048	-0,0023	0
-0,0057	-0,0044	-0,0022	0



$$P_2 = \bar{P}_2 \cdot q_2 \cdot B$$

$$Q_2 = \bar{Q}_2 \cdot q_2 \cdot B$$

$$M_2 = \bar{M}_2 \cdot q_2 \cdot B^2$$

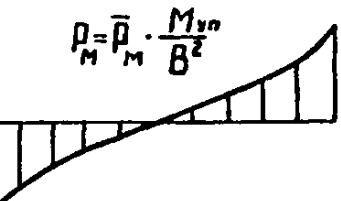
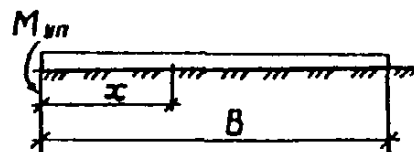
\* для  $\bar{P}_2$  - при  $x/B = 0,03$

\*\* для  $\bar{P}_2$  - при  $x/B = 0,97$

	$t_{fl}$	$x/B$						
		0	0,1	0,2	0,3	0,4	0,5	0,6
$\bar{P}_M$	0	7,50	4,92	3,06	1,74	0,78	0	-0,78
	50	9,92	5,83	2,94	1,02	-0,20	-0,94	-1,46
	100	11,98	6,58	2,82	0,39	-1,02	-1,71	-2,00
	200	15,32	7,76	2,57	-0,66	-2,34	-2,91	-2,78
	300	17,96	8,64	2,33	-1,50	-3,36	-3,79	-3,31
	400	20,12	9,33	2,09	-2,20	-4,19	-4,47	-3,69
	500	21,94	9,88	1,87	-2,81	-4,87	-5,01	-3,95
$\bar{Q}_M$	0	0	0,61	1,01	1,24	1,37	1,41	1,37
	50	0	0,78	1,21	1,40	1,43	1,37	1,25
	100	0	0,91	1,37	1,52	1,48	1,34	1,15
	200	0	1,13	1,63	1,71	1,55	1,28	0,99
	300	0	1,30	1,83	1,85	1,59	1,23	0,87
	400	0	1,44	1,99	1,96	1,62	1,18	0,76
	500	0	1,56	2,11	2,04	1,64	1,13	0,68
$\bar{M}_M$	0	-1	-0,97	-0,90	-0,77	-0,64	-0,50	-0,36
	50	-1	-0,96	-0,86	-0,73	-0,58	-0,44	-0,31
	100	-1	-0,95	-0,84	-0,69	-0,53	-0,39	-0,27
	200	-1	-0,94	-0,80	-0,63	-0,46	-0,32	-0,20
	300	-1	-0,93	-0,76	-0,58	-0,40	-0,26	-0,16
	400	-1	-0,92	-0,74	-0,54	-0,36	-0,22	-0,12
	500	-1	-0,91	-0,71	-0,51	-0,33	-0,19	-0,10

Таблица 6.9

0,7	0,8	0,9	1,0
-1,74	-3,06	-4,92	-7,50
-1,99	-2,79	-4,10	-6,16
-2,17	-2,55	-3,43	-5,12
-2,37	-2,11	-2,40	-3,68
-2,45	-1,72	-1,66	-2,79
-2,45	-1,38	-1,10	-2,23
-2,40	-1,07	-0,66	-1,89
1,24	1,01	0,61	0
1,08	0,85	0,51	0
0,95	0,71	0,42	0
0,73	0,51	0,29	0
0,58	0,37	0,21	0
0,46	0,27	0,15	0
0,36	0,19	0,11	0
-0,23	-0,11	-0,033	0
-0,19	-0,089	-0,027	0
-0,16	-0,073	-0,022	0
-0,12	-0,054	-0,015	0
-0,088	-0,043	-0,011	0
-0,065	-0,035	-0,009	0
-0,047	-0,030	-0,006	0



$$\bar{p}_M = \bar{p}_m \cdot \frac{M_{vn}}{B^2}$$



$$\bar{Q}_M = \bar{Q}_m \cdot \frac{M_{vn}}{B}$$



$$M_M = \bar{M}_m \cdot M_{vn}$$

$E_f$  – модуль упругости бетона; допускается принимать

$$E_f = 30 \cdot 10^9 \text{ МПа} (300 \cdot 10^3 \text{ кгс/см}^2);$$

$J_n$  – приведенный момент инерции сечения фундаментной плиты (на I и длины набережной);

$\theta$  – коэффициент, учитывающий снижение жесткости плиты из-за ползучести бетона и раскрытия трещин и определяемый по СНиП II-56-77; допускается принимать  $\theta = 0,35$ ;

$\omega$  – коэффициент, зависящий от относительной толщины сжимаемого слоя (рис. 6.4); допускается определять  $\omega$  по формуле

$$\omega = 1 + 1,75 B/H_c . \quad (6.15)$$

Толщина сжимаемого слоя  $H_c$  принимается равной толщине несвязанных грунтов в основании, включая постель, но не более 15 м.

6.9. Полки фундаментной плиты таврового или ребристого сечения в местах примыкания их к ребру рассчитывают на действие положительного и отрицательного изгибающих моментов. При этом полка плиты таврового профиля рассчитывается как консольная балка, а полка между ребрами плиты ребристого профиля – как балка, заделанная по концам. Допускается расчетную ширину балки принимать равной  $10 f_{\text{пол}} (\delta_{\text{пол}} – \text{толщина полки})$ , а в пределах ширины балки нагрузку осреднять.

Наиболее опасные сечения выбираются на основании анализа разности эпюр нагрузки  $P - (q_r + q_f)$  для I, 2 и 4 сочетания нагрузок (см. п. 6.7).

6.10. Расчеты железобетонных элементов по образованию или раскрытию трещин должны производиться в соответствии с указаниями пп. I.23 – I.25.

Расчеты следует вести на усилия, определенные из тех же расчетных условий и теми же методами, что и для расчета прочности, но нагрузки и характеристики грунтов вычисляются при коэффициентах надежности, разных единице.

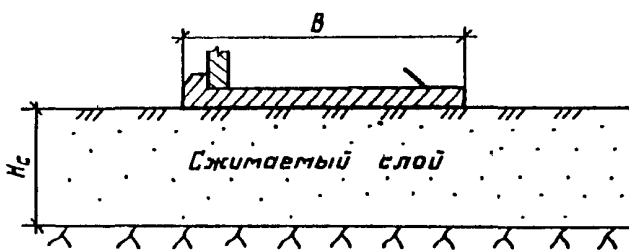


Рис. 6.4. К определению коэффициента  $\omega$  в формуле (6.15)

Допускается проверять сечения на усилия, полученные для расчетов прочности и умноженные на коэффициент условий работы  $\mu_r = 0,85$ . Если при этом не обеспечивается требуемая трещиностойкость или величина раскрытия трещин, то для рассматриваемой расчетной схемы следует выполнить уточненные расчеты по определению усилий.

6.11. Расчет набережной по деформациям производится по указаниям СНиП 2.02.02-85 (на проектирование оснований гидротехнических сооружений) с учетом указаний пп. I.19 – I.22.

6.12. При проектировании углковых набережных следует учитывать общие конструктивные требования раздела I, требования к анкерным устройствам, указанные в пп. 21, 22, 24, 25 и 28 приложения 3, а также следующее.

1) В основании набережной, как правило, следует устраивать каменную или щебеночную постель толщиной 0,3 – 1,0 м, причем при строительстве "в воду" – не менее 0,5 м. В случаях, когда это требуется по расчету устойчивости или деформаций, допускается увеличение толщины постели до 2 м под передней или задней частью фундаментной плиты (в виде зуба, см. рис. 3 в приложении 2).

2) В случае изменения направления линии кордона набережной поворот осуществляется путем применения сборных или монолитных (при строительстве "насухо") фундаментных плит клиновидной в плане формы (рис. 6.5).

3) В фундаментных плитах и железобетонных лицевых элементах следует предусматривать закладные детали для обеспечения устойчивости вертикальных элементов при монтаже. Пример конструкции монтажного крепления показан на рис. 6.6.

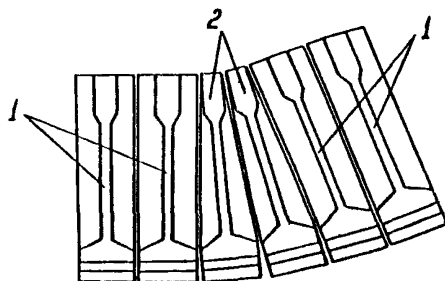


Рис.6.5. Установка фундаментных плит при изгибе линии кордона

1- обычные, прямоугольные в плане фундаментные плиты; 2- фундаментные плиты клиновидной формы

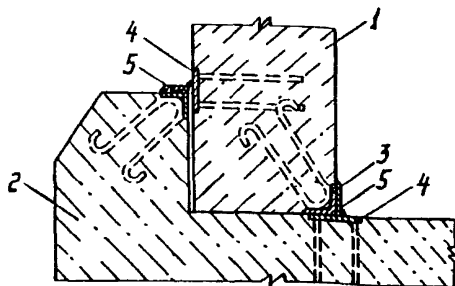


Рис.6.6. Конструкция узла соединения лицевого элемента с фундаментной плитой

1- лицевой элемент; 2- фундаментная плита; 3- уголок 60 x 60,  $\ell = 150 \div 250$ ; 4- закладная планка 150 x 150 + 250; 5- монтажная планка 50 x 150

Министерство речного флота	Ведомственные строительные нормы	СН-РФ 54.1-85
	Указания по проектированию причальных набережных (раздел 7)	Вводятся впервые

## РАЗДЕЛ 7

### НАБЕРЕЖНЫЕ ЯЧЕЙСТВЫЕ ИЗ ОБОЛОЧЕК БОЛЬШОГО ДИАМЕТРА И ИЗ ТОНКИХ ЖЕЛЕЗОБЕТОННЫХ ПАНЕЛЕЙ

7.1. Настоящий раздел Указаний распространяется на проектирование ячеистых набережных из цилиндрических оболочек, а также из железобетонных панелей, соединенных между собой по вертикали с помощью закладных деталей (рис. 7.1). В качестве верхнего строения может служить железобетонная шарочная балка, а также надстройка, монолитная или сборная.

7.2. Состав и последовательность расчетов, как правило, соответствуют приведенным на рис. 7.2.

7.3. Заглубление  $t$  оболочек и панелей на нескользящих грунтах при отсутствии каменной постели должно быть не менее требуемого для обеспечения общей устойчивости набережной на плоский и глубинный сдвиг и, как правило, не менее 1,5 м (для исключения потери местной устойчивости грунта и супфозии). На скальном грунте и при наличии каменной постели заглубление может отсутствовать, если обратный фильтр исключает вынос грунта из ячеек и пазух набережной.

Внесены Государственным институтом проектирования на речном транспорте	Утверждены Министерством речного флота РСФСР	Срок введения 01.01.87
---	--	------------------------------

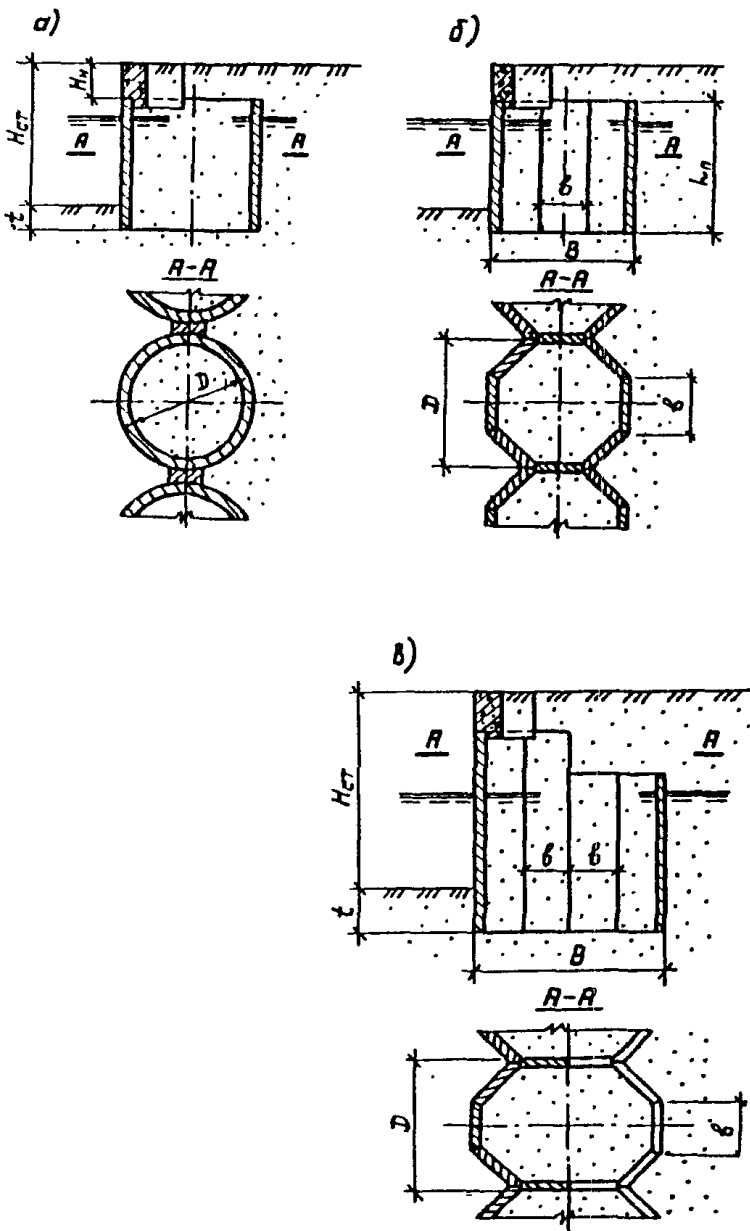


Рис. 7.1. Ячейстые набережные  
а - из цилиндрических оболочек большого диаметра;  
б и в - из тонких железобетонных панелей

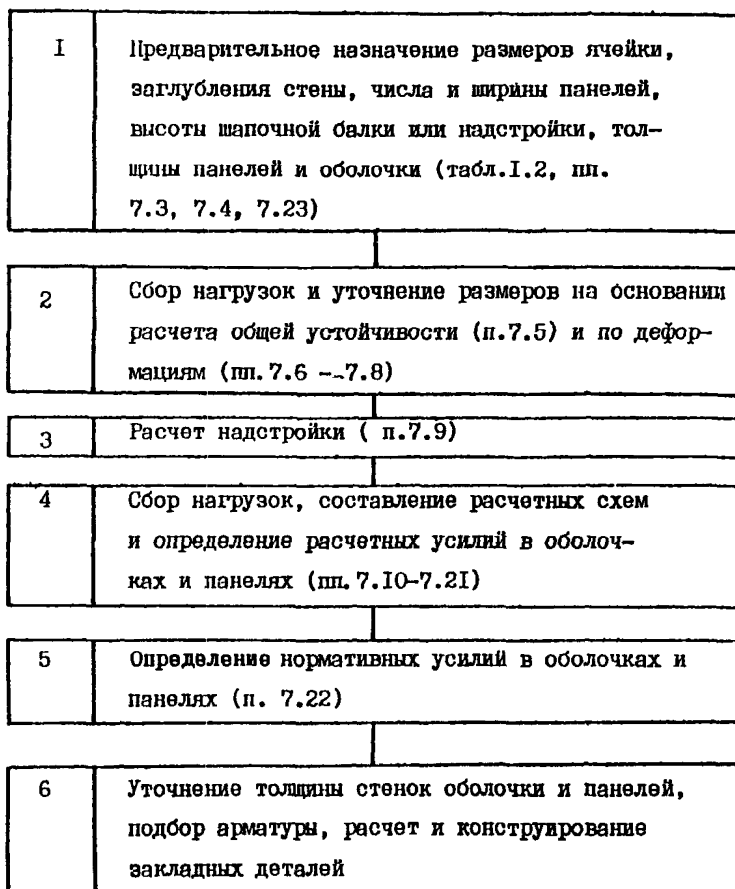


Рис. 7.2. Состав и рекомендуемая последовательность расчетов ячеистых набережных

7.4. Число панелей в ячейке ( рис. 7.1,б ), включая общие для соседних ячеек, рекомендуется принимать в пределах от 8 до 12 при ширине панелей 2-3 м. Ориентировочное соотношение между числом панелей  $n$ , их шириной  $\delta$  и условным диаметром ячейки  $D$  в этом случае даёт формула

$$D \approx \delta \cdot ctg \frac{\pi}{n} . \quad (7.1,а)$$

Для случая, показанного на рис. 7.1,в ,

$$D \approx \delta \cdot ctg \frac{\pi}{n-2} . \quad (7.1,б)$$

7.5. Расчет общей устойчивости следует производить по указаниям приложения 2 по схемам плоского и глубинного сдвига, причем в последнем случае методами ломанных и круглоцилиндрических поверхностей скольжения.

Расчёт рекомендуется вести, как правило, для условий плоской задачи, но на ширину участка вдоль фронта набережной, равного расстоянию в осях между соседними ячейками. Условную ширину подошвы набережной  $B$  допускается принимать равной диаметру оболочек или расстоянию между лицевой и тыловой поверхностями ячеек ( см. рис. 7.1 ).

7.6. При расчете набережной по деформациям следует руководстваться указаниями пп. I.19 - I.22. Расчет производится только для несkalьных оснований для случая максимального загружения территории набережной, минимального уровня воды и при тех же условиях, что при расчете устойчивости ( см. п. 7.5 ). При этом отпор грунта должен приниматься по величине не больше требуемого для обеспечения равновесия горизонтальных составляющих всех принятых в расчете сил, включая силы трения по подошве. Эпюра реактивного давления принимается по форме подобной эпюре давления покоя.

При определении деформаций набережных на глинистых основаниях, а также припусков на установку оболочек или панелей на песчаных основаниях расчеты выполняются на действие постоянных и длительных временных нагрузок.

7.7. Средняя осадка  $S$ , горизонтальное смещение верха  $U$  и крен (наклон)  $i$  набережной определяются по формулам:

$$S = S_1 + S_2 + S_3 , \quad (7.2)$$

$$U = U_1 + U_2 , \quad (7.3)$$

$$i = i_1 + i_2 + i_3 , \quad (7.4)$$

где  $S_1$ ,  $U_1$  и  $i_1$  - деформации сооружения как жесткого линейного фундамента шириной  $B$  с внеклентренно приложенной нагрузкой, определяемые по указаниям главы СНиП 2.02.02 на проектирование оснований гидroteхнических сооружений;

$S_2$  и  $i_2$  - осадка и крен, вызванное обжатием грунта внутри ячеек, определяемые только при  $E_o < 4E_{30c}$  по указаниям п.7.8 (при  $E_o \geq E_{30c}$  принимаются  $S_2 = 0$  и  $i_2 = 0$ );

$E_o$  и  $E_{30c}$  - соответственно модули деформации основания и грунта внутри ячейки;

$S_3$  и  $i_3$  - деформации, вызванные пригрузкой основания за тыловой грани сооружения, определяемые по указаниям главы СНиП 2.02.02;

$U_2$  - горизонтальное смещение кордона из-за наклона стены

$$U_2 = H_{ct} \operatorname{tg} i . \quad (7.5)$$

7.8. Осадка и кривизна набережной, вызванные обжатием грунта внутри ячейки, определяются по формулам:

$$S_2 = m_1 S_1 , \quad (7.6)$$

$$i_2 = m_1 i_1 , \quad (7.7)$$

где  $m_1$  - коэффициент условий работы

$$m_1 = (0.4 - 0.1 E_0 / E_{3ac}) E_0 / E_{3ac} , \quad (7.8)$$

$E_0, E_{3ac}, S_1$  и  $i_1$  - те же, что и в п. 7.7.

7.9. При проектировании надстроек в зависимости от её конструкции рассчитывают (по прочности, деформациям, образованию или раскрытию трещин в железобетоне): шарочную балку, лицевые и фундаментные элементы, контрфорсы, разгрузочные устройства, анкерные тяги и плиты, тумбовые массивы, узлы соединений. Расчеты выполняют аналогично соответствующим для близких по конструкциям подпорных стен, в частности, в соответствии с указаниями разделов 4 и 6, п. 5.12, приложении 3 и 12.

7.10. Основные сочетания нагрузок и соответствующие им расчетные условия при расчете на прочность оболочек большого диаметра, панелей и узлов соединения их в ячеистых набережных принимаются по таблице 7.1. Расчетные схемы и основные расчетные формулы приведены в таблицах 7.2 - 7.4.

7.11. Оболочки большого диаметра рассчитывают на действие:

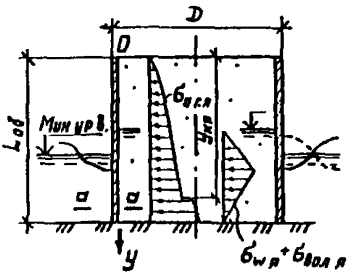
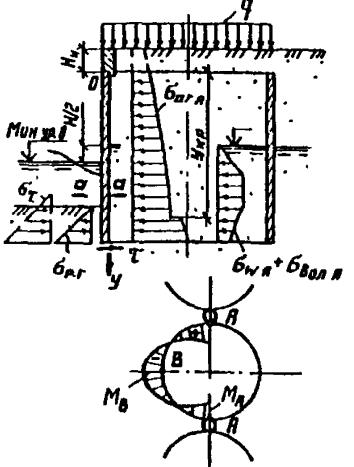
а) растягивающей силы  $N$  в кольце, а также сжимающей силы  $N$  и момента  $M$ , вызванных несимметричностью загружения оболочки (таблица 7.2); расчеты, как правило, выполняют

Таблица 7.1

Наименование нагрузки	Нагрузки, входящие в основное сочетание №										Примечание		
	при расчете оболочек		при расчете панелей, соединенных жестко				при расчете панелей, соединенных шарнирно						
			всех	только лицевых	всех	только лицевых							
	I	2	3	4	5	I	2	3	4	5	6	7	8
1. Боковое давление грунта													
а) внутри ячейки:													
от собств. веса	+	+	+	+	+	+	+	+	+	+	+	+	См.п.7.17
от врем. нагрузок	-	-	-	-	-	-	-	-	-	-	-	-	См.п.7.18
б) с лицевой стороны:													См.приложение 8
реактивное	-	+	-	-	-	-	-	-	-	-	-	-	
пассивное	-	-	+	-	-	-	-	-	-	-	-	-	
2. Трение в основаниях оболочки или панели	-	+	-	-	-	+	+	+	+	+	-	-	См.п.7.19
3. Давление воды:													
фильтрационное	+	+	-	-	-	+	+	+	+	+	-	-	См.п.7.20
волновое (при подходе ложбины волны)	+	+	-	-	-	+	+	+	+	+	-	-	См. СНиП 2.06.04-82; учитывается при высоте волн более 1 м
4. От судов при навале	-	-	+	-	-	-	-	-	-	-	+	-	См.пп.7.15, 7.16, приложение 10
5. Давление льда:													
при навале	-	-	-	+	-	-	-	-	-	-	-	-	См.пп.7.15, 7.16
при температурном расширении	-	-	-	-	-	-	-	-	-	-	-	-	См.пп.7.15, 7.16
при изгибе примерзшего льда	-	-	-	-	-	-	-	-	-	-	-	-	См.п.7.16

Таблица 7.2

НАБЕРЕЖНЫЕ ИЗ ОБОЛОЧЕК ВОЛЬШОГО ДИАМЕТРА.  
ОСНОВНЫЕ РАСЧЕТНЫЕ ЗАВИСИМОСТИ

Расчетное сочетание нагрузок	Схема нагрузок и усилий	Нагрузки, изгибающие моменты и продольные силы
I	2	3
I (строи- тельный случай)		$b_r = b_{d,r} + b_{w,r} + b_{v,r}; \quad (7.9)$ $M = 0 \quad (7.10)$ (изгибающий момент от несимметричного подхода волны допускается не учитывать); $N = 0,56_r D \quad (7.11)$
2		$b_r = b_{d,r} + b_{w,r} + b_{v,r} -$ $- b_\tau - b_{p,r}; \quad (7.12)$ $M = d, b_r D^2, \quad (7.13)$ в точках А $d_1 = 0,025$ , в точках В $d_2 = -0,012$ ; $N = 0,56_r D \quad (7.11)$
<b>Примечание.</b> При $b_r > 0$ суммарное давление направлено наружу; при $N > 0$ сечение растянуто, а при $N < 0$ — сжато; при $M > 0$ растянуто внутреннее волокно		

Продолжение табл. 7.2

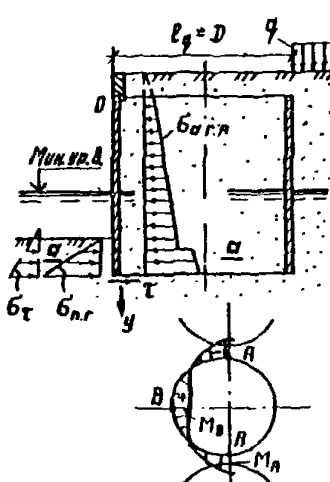
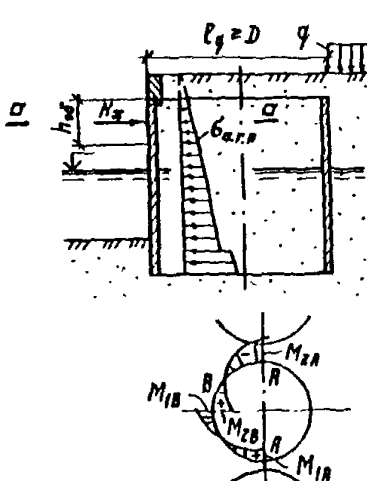
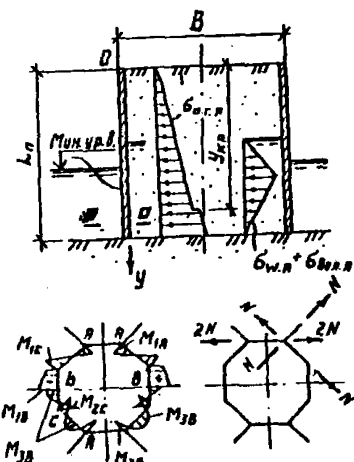
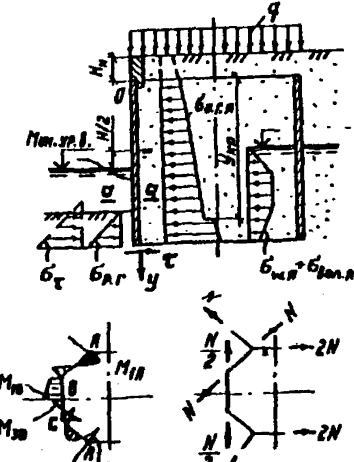
I	2	3
3		$\delta'_r = m_\sigma \delta_{a.r.A} - m_n \delta_{n.r} - \delta_T , \quad (7.14)$ $m_\sigma = 0.7, \quad m_n = 1.3;$ $M = d_1 \delta'_r D^2 , \quad (7.13)$ $z \text{ точках А } d_1 = 0.025,$ $z \text{ точке В } d_1 = -0.012;$ $N = 0.5 \delta'_r D \quad (7.11)$
4 * 5		$\delta'_r = \delta_{a.r.A} m_\sigma , \quad (7.15)$ $m_\sigma = 0.7;$ $M = M_1 + M_2 , \quad (7.16)$ $M_1 = d_1 \delta'_r D^2 , \quad (7.13)$ $M_2 = d_2 H_x D / h_{eff}, \quad (7.17)$ $z \text{ точках А } d_1 = 0.025, \quad d_2 = -0.06,$ $z \text{ точке В } d_1 = -0.012, \quad d_2 = 0.09;$ $N = 0.5 \delta'_r D - 0.5 H_x / h_{eff}, \quad (7.18)$ $h_{eff} - см. п. 7.15,$ $H_x - см. п. 7.16$

Таблица 7.3

ЛЧЕЙКИ ИЗ ЖЕСТКО СОЕДИНЕННЫХ ПАНЕЛЕЙ. ОСНОВНЫЕ РАСЧЕТНЫЕ ЗАВИСИМОСТИ

Расчетное соединение нагрузкой	Схема нагружек и усилий	Нагрузки, изгибающие моменты, продольные и поперечные силы
1 (строительный случай)		$\sigma_r = \sigma_{a,r,A} + \sigma_{w,A} + \sigma_{bol,A}; \quad (7.9)$ $M = M_1 + M_3, \quad (7.19)$ $M_1 = d_1 \sigma_r D^2, \quad (7.13)$ $M_3 = d_3 \sigma_r \delta^2, \quad (7.20)$ <ul style="list-style-type: none"> <li>в точках А <math>d_1 = 0.025, d_3 = 0.06,</math></li> <li>в точках С <math>d_1 = -0.012, d_3 = 0.06,</math></li> <li>в точке В <math>d_1 = -0.012, d_3 = -0.06;</math></li> </ul> $N = 0.5 \sigma_r D, \quad (7.11)$ $Q = 0.5 \sigma_r \delta \quad (7.21)$
2		$\sigma_r = \sigma_{a,r,A} + \sigma_{w,A} + \sigma_{bol,A} - \sigma_\tau - \sigma_{p,r}; \quad (7.12)$ $M = M_1 + M_3, \quad (7.19)$ $M_1 \text{ и } M_3 - \text{ см. формулы}$ $(7.13) \text{ и } (7.20);$ $N = 0.5 \sigma_r D, \text{ в том числе в}$ $\text{замках;}$ $Q = 0.5 \sigma_r \delta \quad (7.21)$

См. примечание к табл. 7.2

Продолжение табл. 7.3

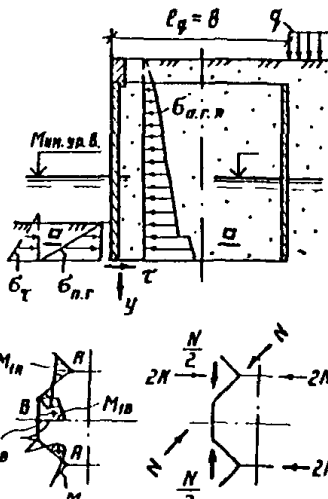
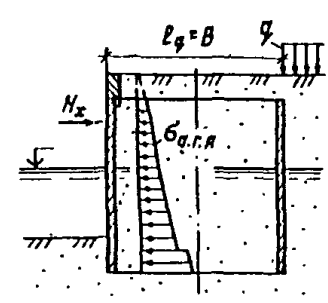
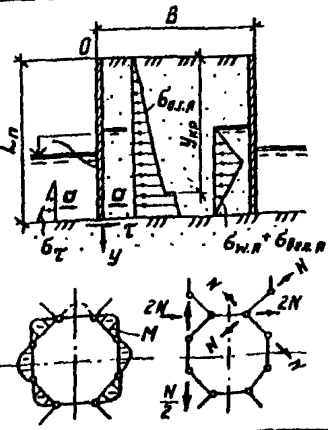
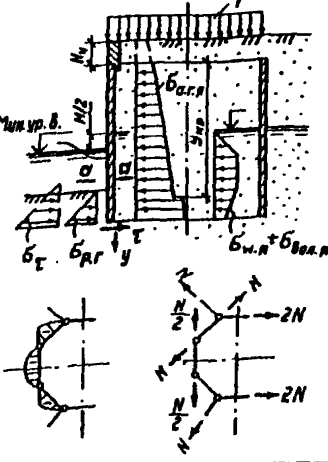
I	2	3
3		$\delta_r = m_\sigma \delta_{a,r,y} + \delta_\tau - m_n \delta_{n,r}, \quad (7.14)$ $m_\sigma = 0.7, \quad m_n = 1.3;$ $M = M_1 + M_3, \quad (7.19)$ $M_1 \text{ и } M_3 - \text{ см. формулы}$ $(7.13) \text{ и } (7.20);$ $N = 0.5 \delta_r D; \quad (7.11)$ $Q = 0.5 \delta_r \theta \quad (7.21)$
4 и 5		$\delta_r = m_\sigma \delta_{a,r,y}, \quad m_\sigma = 0.7; \quad (7.15)$ $M = M_1 + M_3 + M_2 + M_4, \quad (7.22)$ $M_1 \text{ и } M_3 - \text{ см. формулы}$ $(7.13) \text{ и } (7.20),$ $M_2 = d_2 H_x D / h_n, \quad (7.23)$ $M_4 = \begin{cases} d_4 H_x \theta / h_n & \text{для сочетания 4} \\ 0 & \text{для сочетания 5.} \end{cases} \quad (7.24)$ <p>в точках А <math>d_2 = -0.06, d_4 = -0.12,</math>      в точках В <math>d_2 = 0.09, d_4 = 0.12,</math>      в точках С <math>d_2 = 0.04, d_4 = -0.12;</math></p> $N = 0.5 \delta_r D - 0.5 H_x / h_n, \quad (7.18)$ $H_x - \text{см. п.7.16, } h_n - \text{см. п.7.15}$

Таблица 7.4

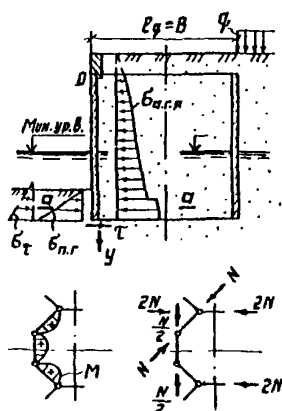
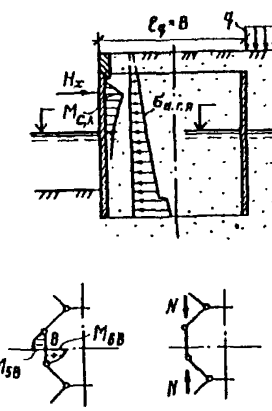
ЯЧЕЙКИ ИЗ ШАРНИРНО СОЕДИНЕННЫХ ПАНЕЛЕЙ.

## ОСНОВНЫЕ РАЧЕТНЫЕ ЗАВИСИМОСТИ

Расчетное сочетание нагрузок	Схема нагрузок и усилий	Нагрузки, изгибающие моменты, продольные и поперечные силы
I	2	3
I (строительный одувай)		$\sigma_r = \sigma_{a,l,y} + \sigma_{w,y} + \sigma_{bol,y} - \sigma_t \quad (7.9)$ $M = d_5 \sigma_r B^2, \quad (7.25)$ <p>по оси панелей <math>d_5 = -0,12</math>, у замков <math>d_5 = 0</math>;</p> $N = 0,5 \sigma_r D, \quad (7.11)$ <p>в том числе в замках;</p> $Q = 0,5 \sigma_r B \quad (7.21)$
2		$\sigma_r = \sigma_{a,l,y} + \sigma_{w,y} + \sigma_{bol,y} -$ $- \sigma_t - \sigma_{p,r}; \quad (7.12)$ $M = d_5 \sigma_r B^2, \quad (7.25)$ <p>по оси панелей <math>d_5 = -0,12</math>;</p> $N = 0,5 \sigma_r D, \quad (7.11)$ <p>в том числе в замках;</p> $Q = 0,5 \sigma_r B \quad (7.21)$

См. примечание к табл. 7.2

Продолжение табл. 7.4

I	2	3
3		$\delta_r = m_\alpha \delta_{\alpha.r.y} - \delta_\tau - m_n \delta_{n.r}, \quad (7.14)$ $m_n = 1.3, \quad m_\alpha = 0.7;$ $M = d_5 \delta_r B^2, \quad (7.25)$ <p>по оси панелей <math>d_5 = -0.12;</math></p> $N = 0.5 \delta_r D; \quad (7.11)$ $Q = 0.5 \delta_r B \quad (7.21)$
4 + 7		<p>Для сочетания 4</p> $\delta_r = m_\alpha \delta_{\alpha.r.y}, \quad (7.15)$ $m_\alpha = 0.7;$ $M = M_5 + M_B, \quad (7.26)$ <p><math>M_5</math> - см. формулу (7.25)</p> $M_B = d_6 H_x B / h_n, \quad (7.27)$ <p>в точке B <math>d_6 = +0.25;</math></p> $N = 0.25 \delta_r D - 0.5 H_x / h_n \quad (7.18)$ <p>Для сочетаний 5, 6 и 7</p> $M_{CA}$ - см. п. 7.16; $h_n$ - см. п. 7.15, $H_x$ - см. п. 7.16

только для сечений  $\square - \square$  с максимальным по абсолютной величине суммарным (с учетом осреднения в соответствии с п.7.21) давлением грунта и воды  $\sigma_r$ , а также для сечений, в которых приложены нагрузки от навала судна и льда;

б) касательных напряжений  $T$  в вертикальных сечениях вблизи продольной оси набережной (п.7.14); расчет допускается не производить при  $10 \geq h_{ab} \geq 6$  м.

Усилия в вертикальном направлении, вызванные нагрузками от судов и льда, допускается не учитывать.

7.12. Полигональные ячейки из железобетонных панелей рассчитывают на действие:

а) растягивающей силы  $N$  в кольце с условным диаметром  $D$  (см. рис.7.1), а также сжимающей силы  $N$  и изгибающего момента  $M$ , вызванных отличием полигональной ячейки от круглого цилиндра и несимметричностью загружения (см. таблицы 7.3 и 7.4); расчеты, как правило, выполняют только для сечений с максимальным по абсолютной величине суммарным (с учетом осреднения по п. 7.21) давлением грунта и воды  $\sigma_r$ , (на эти усилия рассчитывают панели и узлы их соединения между собой);

б) поперечных сил  $Q$  (п. 7.13);

в) касательных напряжений в вертикальном направлении вблизи продольной оси набережной (п. 7.14); расчет допускается не производить при  $h_n \geq 6$  м;

г) изгибающих моментов в вертикальном направлении от воздействия судов и льда (расчет выполняется только при шарнирном соединении панелей между собой, см. табл. 7.4).

7.13. Поперечные силы в панелях у стыков в горизонтальном направлении определяются по формуле

$$Q = 0.5 \sigma_r B . \quad (7.21)$$

7.14. Касательные напряжения в вертикальном направлении вблизи продольной оси наборежной допускается определять по формуле

$$T = \frac{\psi H_{ct}^3}{\mu_{ob,n} t_{ob,n}} , \quad (7.28)$$

где  $\psi$  - параметр, принимаемый при песчаном заполнении равным 1,25 кПа;

$t_{ob,n}$  - толщина оболочки или панели (для панели, общей для соседних ячеек,  $t_n$  - половина фактической толщины панели).

7.15. Изгибающие моменты и сжимающие силы в оболочках в горизонтальном направлении от навала судна и воздействия льда определяются как для бесшарнирных круговых арок диаметром  $D$ , высотой 0,5Д и шириной  $h_{ob} = 10t_{ob}$ , но не более реальной высоты колыца, воспринимающего указанную нагрузку.

Изгибающие моменты и сжимающие силы в панелях в горизонтальном направлении определяются как для балок длиной  $b$  и шириной  $h_n = 10t_n$  с жесткими или шарнирными опорами в зависимости от характера соединений между панелями.

7.16. Изгибающие моменты в панелях в вертикальном направлении (на ширину панелей  $b$ ) при навале судна, навале или температурном расширении льда определяются по формуле

$$M_{c,n} = 0,08 H_x(c,n) L_n , \quad (7.29)$$

где  $H_x$  - сила навала судна, определяемая по приложению 10, или нагрузка от ледяного поля и нагрузка от температурного расширения льда  $F$  на ширину панели  $b$ , определяемые по СНиП 2.06.04-82;

$L_n$  - длина панели.

Изгибающие моменты в панелях в вертикальном направлении от примерзшего льда при изменении уровня воды определяют по п.5 приложения 6 как для лицевых элементов углковых стен, принимая

$$h_{np} = h_n.$$

7.17. Боковое давление грунта внутри ячеек  $\sigma_{a,p}$  следует определять по указаниям приложения 8, пп. I6 и I7. Коэффициент бокового давления  $\lambda_{a,r}$  вычисляют:

а) при расчете оболочек, а также ячеек из жестко соединенных панелей, принимая  $\varphi = \varphi_{usl}$ ,  $\delta = 2/3 \varphi_{usl}$  при  $y \leq y_{kp}$ ,  $\delta = -1/3 \varphi_{usl}$  при  $y > y_{kp}$  (для песчаной засыпки средней плотности  $\lambda_{a,r}$  соответственно равна 0,36 и 0,46);

б) при расчете ячеек из шарнирно соединенных панелей (например, с замками, показанными на рис. 7.3), принимая расчетные значения  $\varphi$ ,  $\delta = 2/3 \varphi$  при  $y \leq y_{kp}$ ,  $\delta = -1/3 \varphi$  при  $y > y_{kp}$  (при  $\varphi = 30^\circ \lambda_{a,r}$  соответственно равна 0,28 и 0,37).

Глубину  $y_{kp}$  допускается определять по формуле

$$y_{kp} = m_2 (\lambda_{a,r} + H_H) - H_H, \quad (7.30)$$

принимая  $m_2$  по зависимости

$$m_2 = \begin{cases} 1 - 0,4\alpha & \text{при } E_s/E_{3ac} \leq 2, \\ 1 - m_1 \alpha & \text{при } 2 \leq E_s/E_{3ac} \leq 4, \\ 1 & \text{при } E_s/E_{3ac} > 4, \end{cases} \quad (7.31)$$

где  $\alpha = 1,25$  – при первом сочетании нагрузок (отсутствует засыпка пазухи) и  $\alpha = 1,5$  – для остальных сочетаний нагрузок при определении давления грунта на лицевую часть оболочек и лицевые панели;

$m$ , - коэффициент, определенный по формуле (7.8);

$h_{об,п}$  - высота оболочки или панели (см. табл. 7.2 - 7.4);

$H_H$  - высота надстройки.

7.18. Реактивное давление грунта  $\sigma_{р,г}$  на лицевую поверхность оболочек или панелей допускается определять при коэффициенте бокового давления  $\lambda_{р,г} = 0,5$  и коэффициенте надежности по нагрузке  $n = 0,9$  аналогично давлению покоя (см. приложение 8,пп.14,15).

7.19. Учет сил трения  $T$  по подошве оболочек и панелей допускается производить, прикладывая к лицевой поверхности оболочки или панели условную эпюру горизонтального давления  $\sigma_T$  в виде треугольника с нулевым значением на высоте  $y_T$  от подошвы и максимальным значением внизу, равным:

для оболочки

$$\sigma_T = \frac{G_o \cdot f}{D \cdot y_T}; \quad (7.32)$$

для лицевой панели полигональной ячейки

$$\sigma_T = \frac{2G_p \cdot f}{B \cdot y_T}, \quad (7.33)$$

где  $G_o$  и  $G_p$  - вес оболочки и вес панели с учетом вертикальной нагрузки, приложенной к ней непосредственно, и взвешивающего действия воды;

$f$  - коэффициент трения бетона по грунту, принимаемый равным  $\operatorname{tg} \varphi$ , но не более 0,55;  $\varphi$  - расчетный угол внутреннего трения грунта под подошвой оболочки или панели;

$D$  и  $B$  - соответственно диаметр оболочки и ширина панели;

$y_T = 3$  м - высота условной эпюры.

7.20. Фильтрационное давление воды внутри ячеек определяется по приложению 9. В случае их установки непосредственно на глинистое основание при отсутствии специальных дренажных устройств следует принимать уровень воды в ячейках (оболочках) не ниже их верха.

7.21. Суммарное горизонтальное давление грунта и воды  $b_r$  (см. табл. 7.2 - 7.4) следует осреднять в пределах наиболее нагруженного трехметрового участка по высоте оболочки или панели.

7.22. Расчеты железобетонных элементов по образованию или раскрытию трещин следует производить в соответствии с указаниями пп. I.23- I.25. Расчеты следует вести на усилия, определенные для тех же расчетных условий и теми же способами, что и при расчетах прочности, но нагрузки и характеристики грунтов вычисляются при коэффициентах надежности, равных единице. Допускается использовать усилия, полученные для расчетов прочности, умноженные на коэффициент условий работы  $m = 0,85$ .

7.23. При проектировании следует учитывать общие конструктивные требования раздела I, п.2.13.1, требования к анкерным устройствам, указанные в пп. 20-28 приложения 3, а также следующее.

1) Толщину внешних панелей следует принимать не менее 20 см, а тыловых и общих для соседних ячеек - 15 см.

2) Толщину стенок оболочек большого диаметра при  $D \leq 10$  м следует принимать не менее 20 см, а при  $D > 10$  м -не менее  $0,2 + (D - 10)/40$  м.

3) Тыловые панели полигональных ячеек, а также находящаяся в засыпке часть оболочек может быть меньше по высоте, чем лицевые панели или лицевая часть оболочки ( до 2 раз ), если при этом обеспечивается прочность консоли в виде незамкнутого сечения ячеек или оболочек.

- 4) Верх панелей или оболочек должен возвышаться над строительным уровнем воды не менее, чем на 0,5 м.
- 5) Панели рекомендуется соединять между собой замками из спецпроката типа замков шпунта III, а при его отсутствии – замками, конструкция которых показана на рис. 7.3. Замки рассчитывают на растяжение (сжатие) с изгибом от совместного действия максимальной продольной силы  $N$  и соответствующей, перпендикулярной к ней силы  $Q$ .
- 6) Шарочной балкой или фундаментом надстройки рекомендуется покрывать только лицевую часть контура ячейки и пространство между панелями или оболочками с лицевой стороны набережной.
- 7) Панели должны иметь закладные детали для обеспечения монтажа набережной с помощью специальных кондукторов.
- 8) Заполнение внутреннего пространства ячеек или оболочек должно производиться до или одновременно с заполнением пазухи набережной. Переход уровня грунта в смежных ячейках, как правило, не должен превышать 3 м, а воды – 1 м.
- 9) В ячейках и оболочках, устанавливаемых на глинистые грунты, рекомендуется устраивать дренажные отверстия для выпуска воды из внутреннего объема.
- 10) Обратный фильтр для исключения выноса грунта засыпки через каменную постель допускается делать однослойным толщиной не менее 0,5 м, из щебня средней крупности.
- II) Тумбовые массивы рекомендуется устраивать во впадинах между лицевыми панелями или оболочками, а при высоких надстройках – в пределах надстройки.

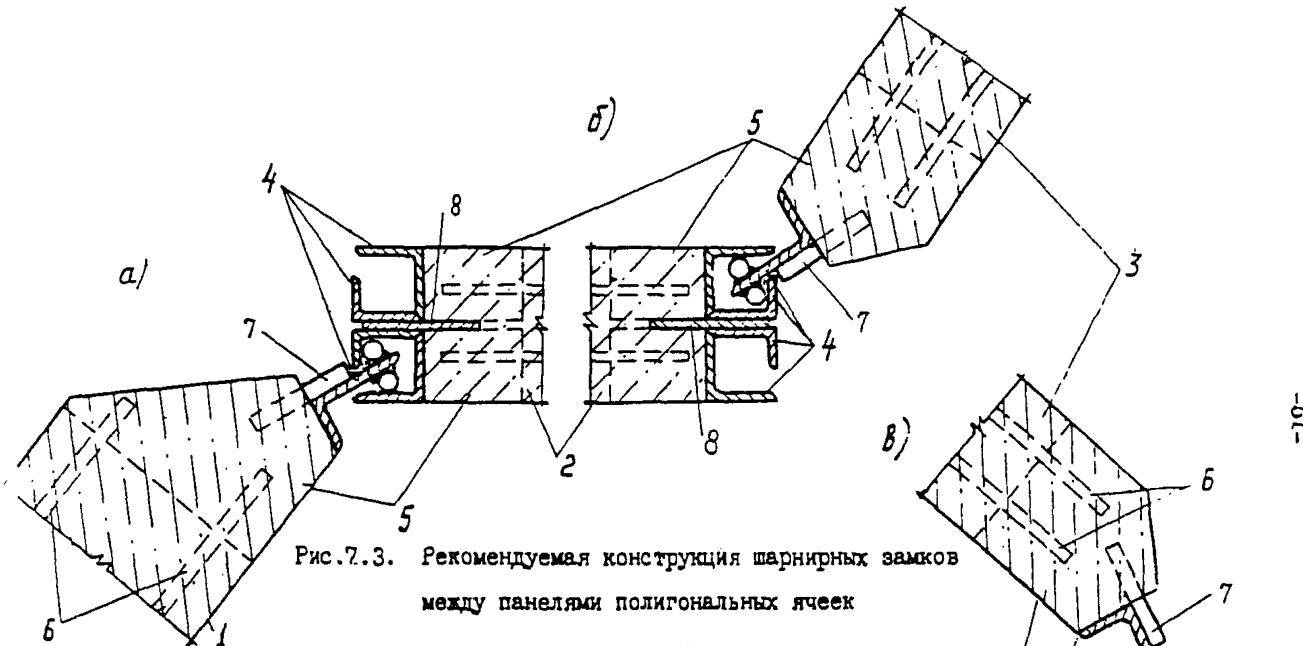
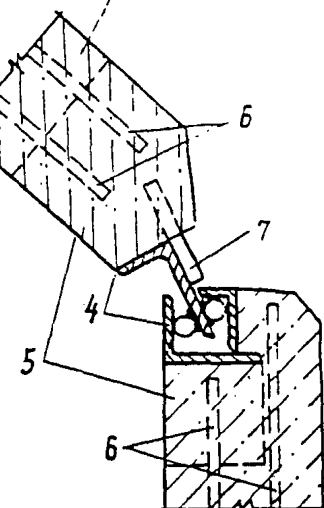


Рис.7.3. Рекомендуемая конструкция шарнирных замков между панелями полигональных ячеек

а - между лицевой и средней, б - между средней и тыловой, в - между тыловыми;

1 - лицевая панель, 2 - средняя (общая для соседних ячеек), 3 - тыловая панель, 4 - стальные уголки, 5 - стальные косынки, 6 - анкерные стержни,

7 - коротыш, 8 - полоса



С О Д Е Р Ж А Н И Е

	Стр.
Раздел 6. НАБЕРЕЖНЫЕ УГОЛКОВОГО ПРОФИЛЯ С АНКЕРОВКОЙ ЗА ФУНДАМЕНТНУЮ ПЛИТУ	3
Раздел 7. НАБЕРЕЖНЫЕ ЯЧЕЙСТЫЕ ИЗ ОБОЛОЧЕК БОЛЬШОГО ДИАМЕТРА И ИЗ ТОНКИХ ЖЕЛЕЗОБЕТОННЫХ ПАНЕЛЕЙ	32